

Supplementary Information

Multiple Monohydroxylation Products from *rac*-Camphor by Marine Fungus *Botryosphaeria* sp. Isolated from Marine Alga *Bostrychia radicans*

Hugo C. R. de Jesus,^{a,b,c} Alex H. Jeller,^d Hosana M. Deboni,^e Péricles B. Alves^b and André L. M. Porto^{*a}

^aLaboratório de Química Orgânica e Biocatálise, Instituto de Química de São Carlos, Universidade de São Paulo, Av. João Dagnone, 1100, Ed. Química Ambiental, J. Santa Angelina, 13563-120 São Carlos-SP, Brazil

^bDepartamento de Química, Universidade Federal de Sergipe, São Cristóvão, 49100-000 Aracajú-SE, Brazil

^cLaboratório Dalton de Espectrometria de Massas, Instituto de Química, Universidade Estadual de Campinas (UNICAMP), 13803-862 Campinas-SP, Brazil

^dCentro de Estudos em Recursos Naturais, Universidade Estadual de Mato Grosso do Sul, Rod. Itahum Km 12, s/n, 79804-970 Dourados-MS, Brazil

^eDepartamento de Física e Química, Faculdade de Ciências Farmacêuticas de Ribeirão Preto, Universidade de São Paulo, Via do Café s/n, 14040-903 Ribeirão Preto-SP, Brazil

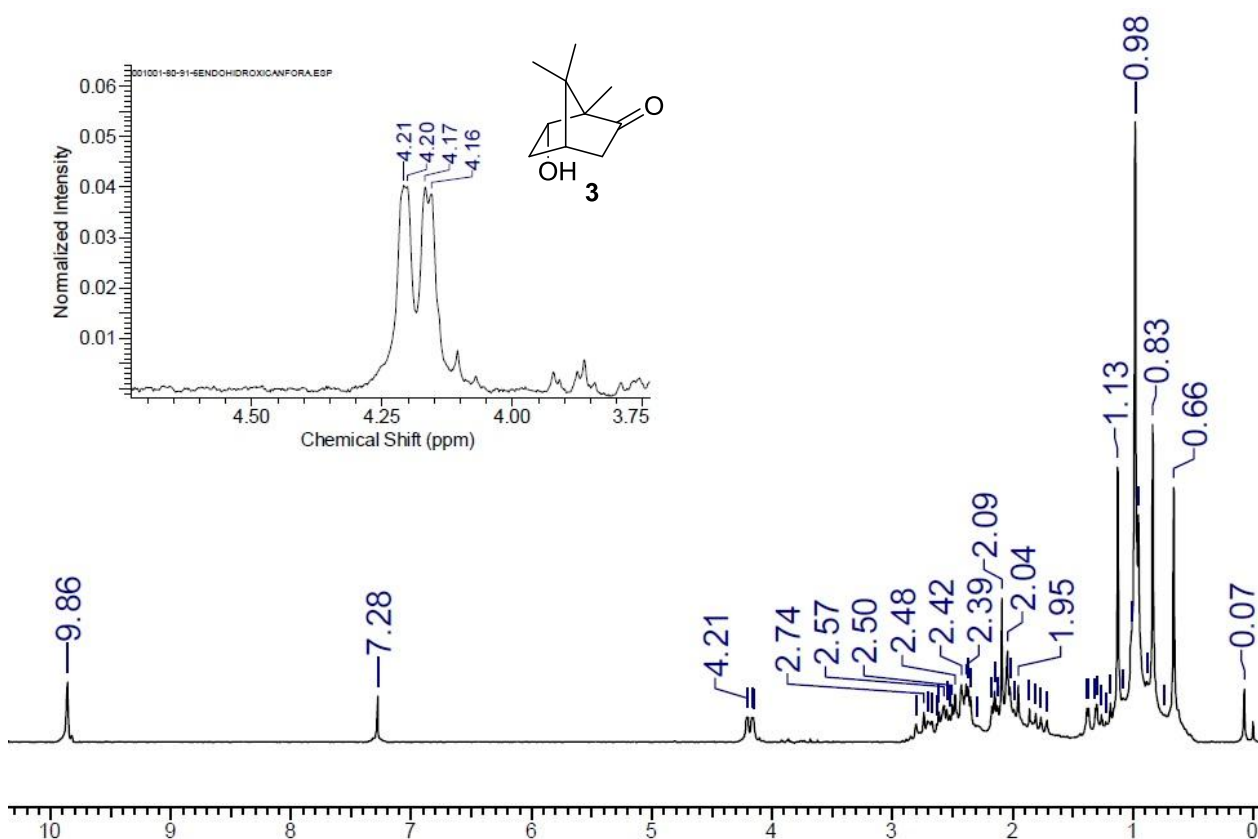


Figure S1. ¹H NMR (200 MHz, CDCl₃) of fraction A.

*e-mail: almporto@iqsc.usp.br

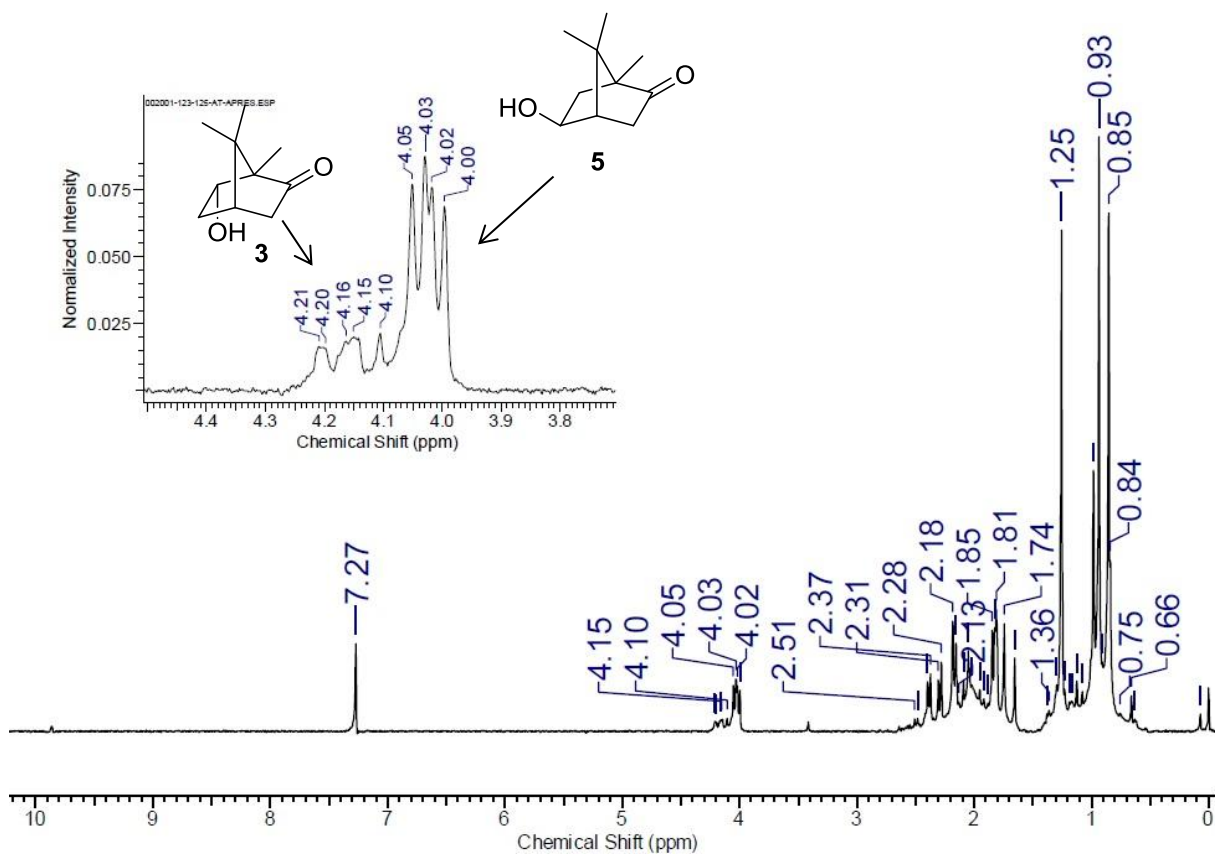


Figure S2. ^1H NMR (200 MHz, CDCl_3) of fraction B.

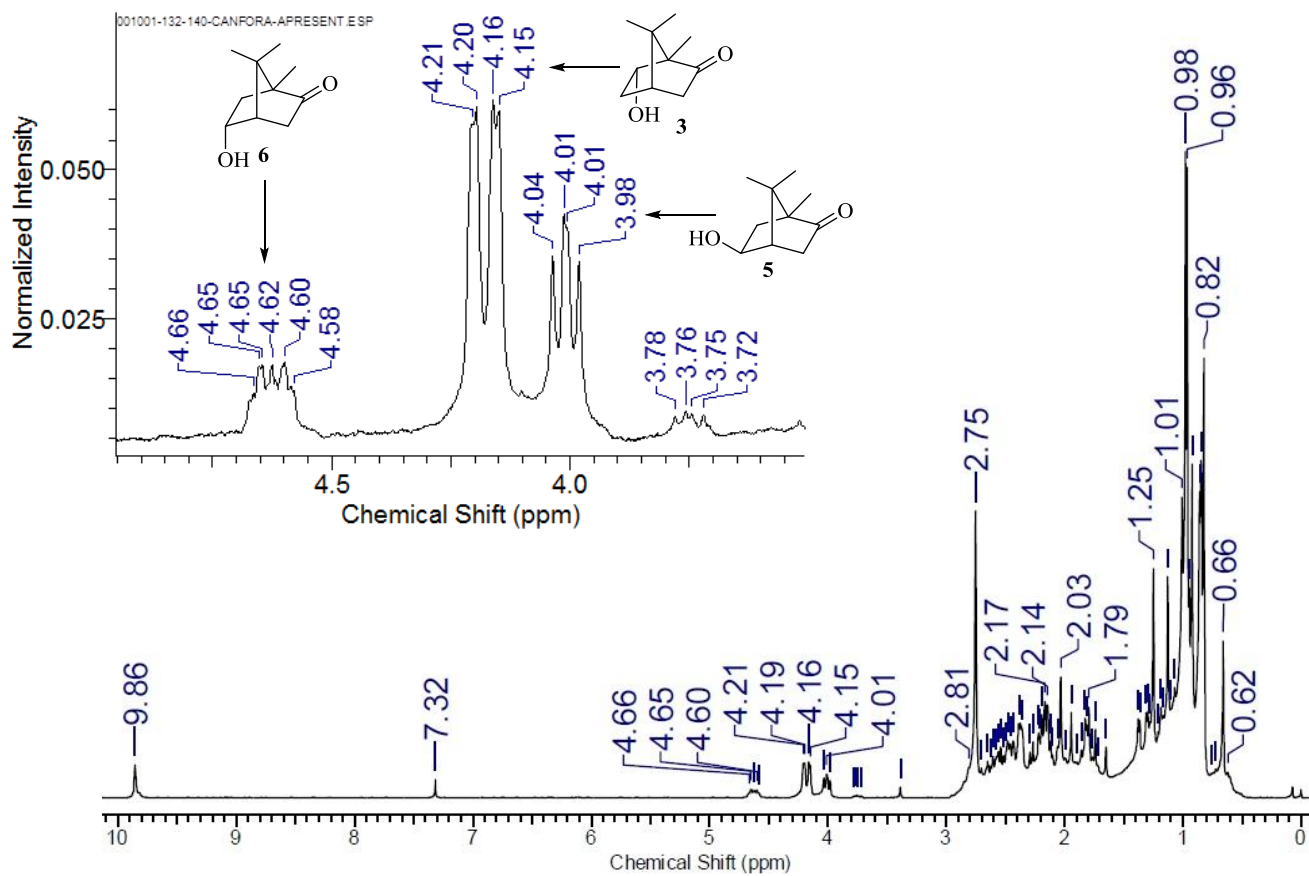


Figure S3. ^1H NMR (200 MHz, CDCl_3) of fraction C.

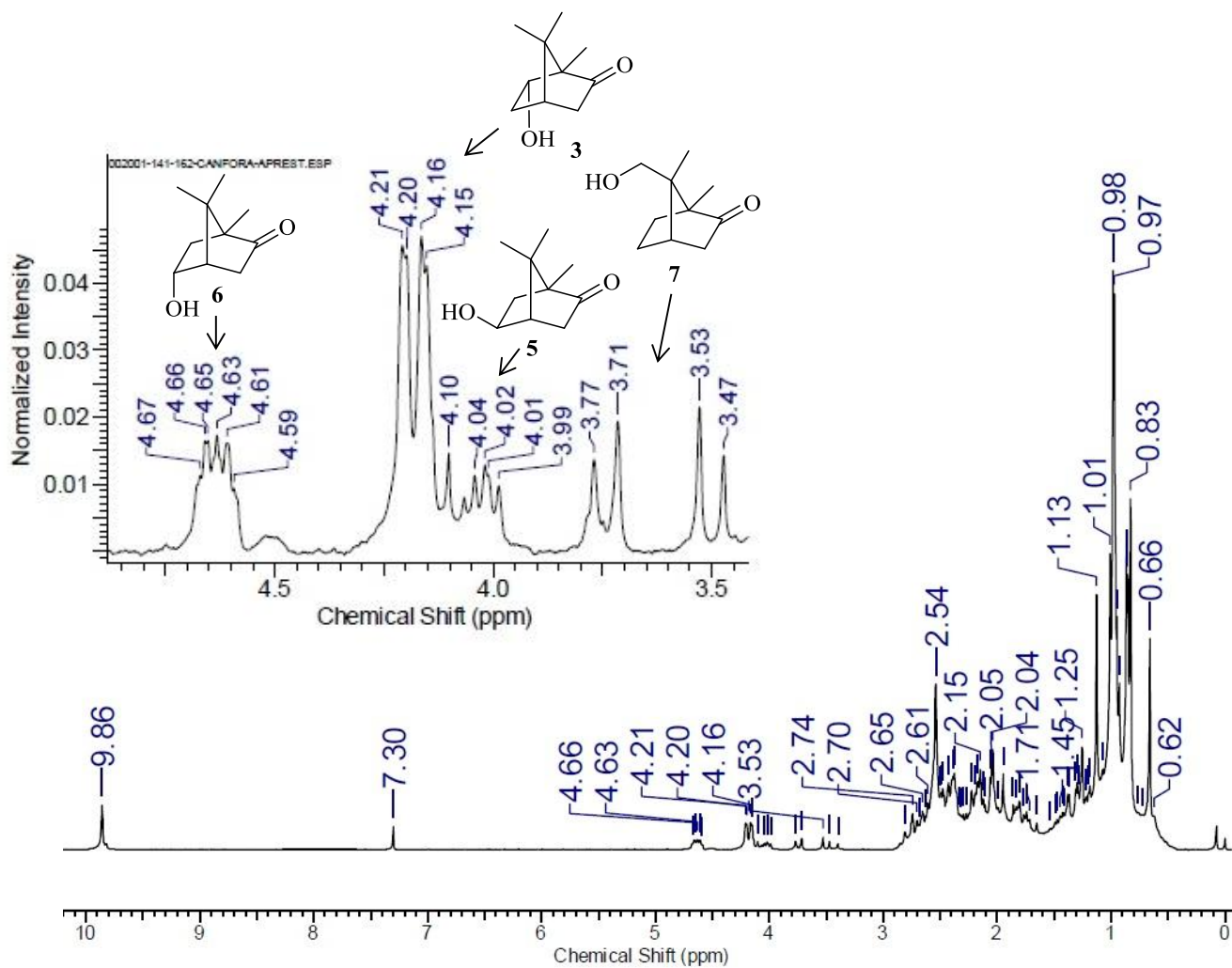


Figure S4. ^1H NMR (200 MHz, CDCl_3) of fraction D.

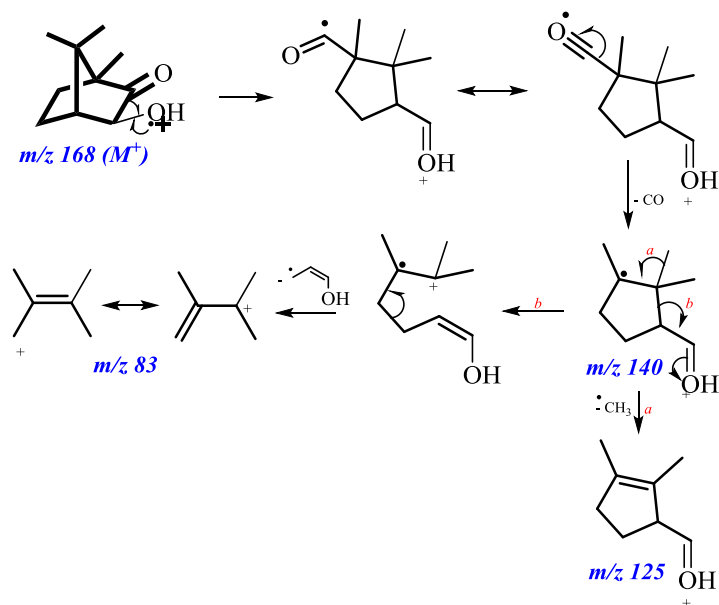


Figure S5. Proposed MS fragmentation pathway for 3-*exo*-hydroxycamphor.

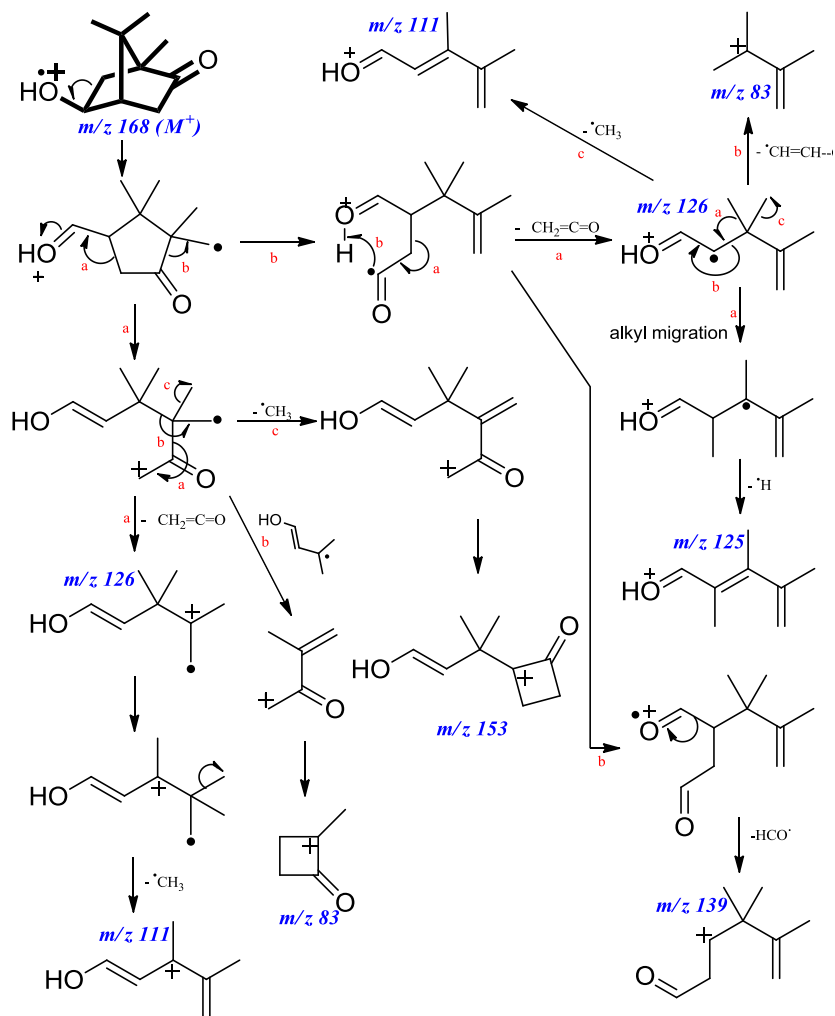


Figure S6. Proposed MS fragmentation pathway for 5-*exo*-hydroxycamphor.

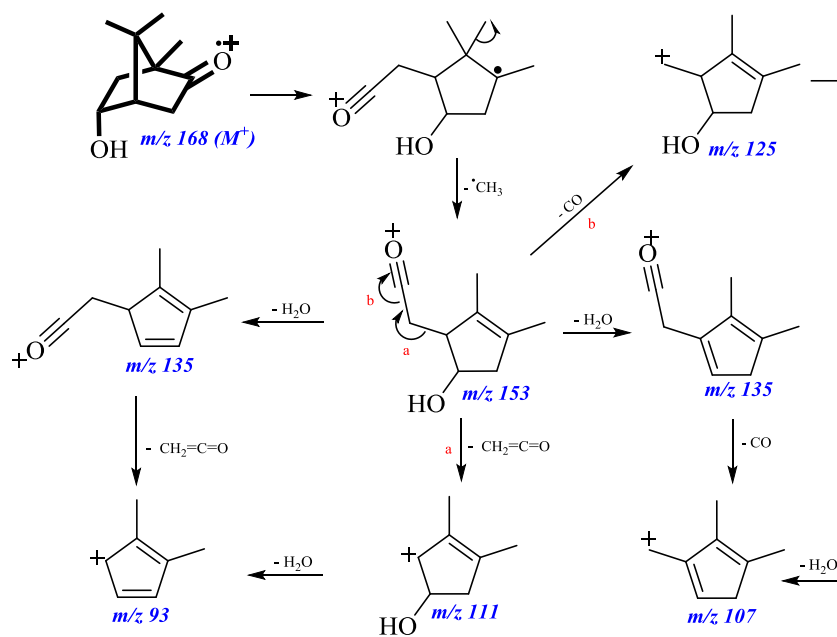


Figure S7. Proposed MS fragmentation pathway for 5-*endo*-hydroxycamphor.

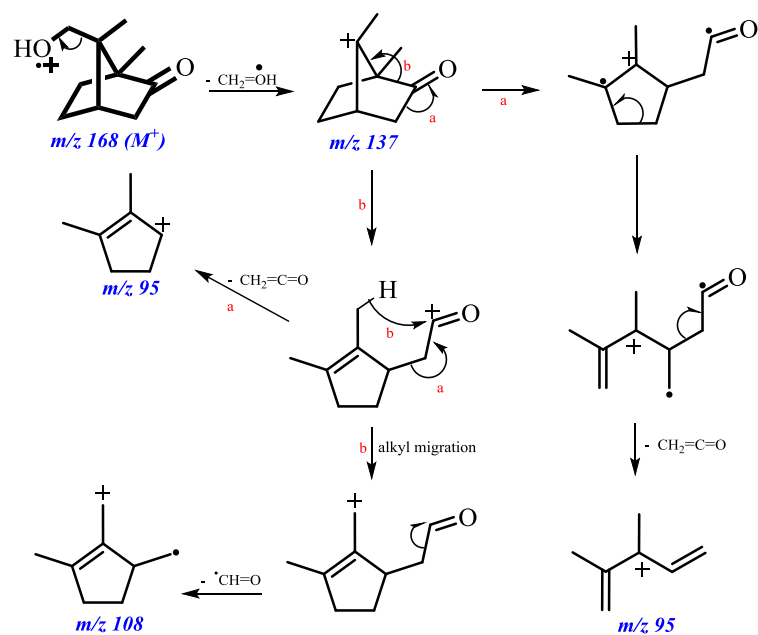


Figure S8. Proposed MS fragmentation pathway for 8-hydroxycamphor.

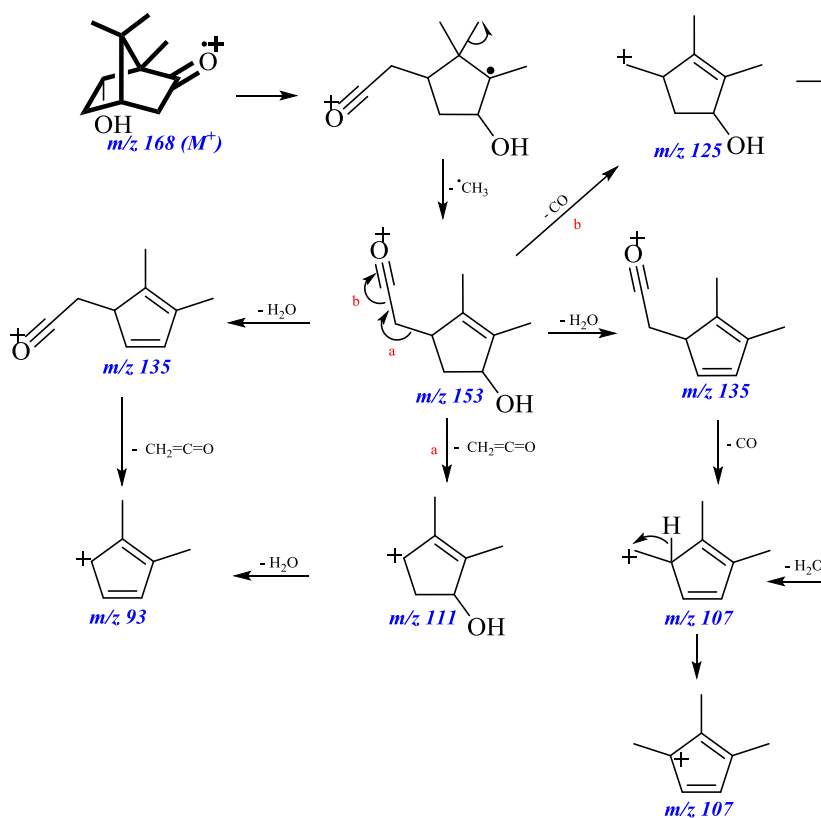


Figure S9. Proposed MS fragmentation pathway for 6-*endo*-hydroxycamphor.